

Fyzika laserových generátorů

Systémy s přenosem energie

Jan Šulc

Katedra fyzikální elektroniky
České vysoké učení technické
jan.sulc@fjfi.cvut.cz

15. dubna 2021

Iont-iontová interakce

- ▶ Koncentrace dopantů v matricích pevnolátkových laserů se pohybuje mezi ~ 0 a 100 % (stoichiometrické laserové materiály)
- ▶ Od určité koncentrace už nemohou být ionty příměsi považovány za nezávislá a izolovaná opticky aktivní centra, ale musí být uvážena jejich vzájemná interakce
 - ▶ Jsou pozorovány jevy jako koncentrační zhášení fluorescence (u Nd^{3+} a Er^{3+} pro koncentrace na úrovni 1 %, pro Yb^{3+} od cca 10 %)
 - ▶ U některých materiálů jsou jevy spojené s iont-iontovou interakcí patrné od velmi malých koncentrací (Tm:CaF_2 – dochází k párování iontů)
 - ▶ Kombinace vysoké koncentrace aktivního iontu (Yb^{3+}) a stopové koncentrace nečistot (Er^{3+} , Tm^{3+}) se projeví zhašením fluorescence
- ▶ Síla interakce záleží na vzdálenosti interagující iontů
- ▶ Velikost koncentrace, která se projeví iont-iontovou interakcí záleží na tom, jestli ionty jsou
 - ▶ statisticky náhodně rozložené
 - ▶ jestli existuje tendence ke korelované distribuci (tvorba párů, klastrů, linní...)

Iont-iontová interakce

- ▶ Existují tři typy interakce, které se liší dosahem
 1. Při silné vazbě vznikne nové optické centrum, které se liší svými vlastnostmi od původních iontů (páry Yb^{3+} a jejich kooperativní emise v zelené oblasti)
 2. Při slabé vazbě si ionty zachovají své původní vlastnosti, ale přenos energie nastává prostřednictvím nezářivých procesů (multipólová interakce)
 3. Ionty nejsou přímo vázané a energii si vyměňují zářivě (reabsorbce fluorescence)
- ▶ Se vzrůstající koncentrací se efekty často kombinují

Iont-iontová interakce – silná vazba

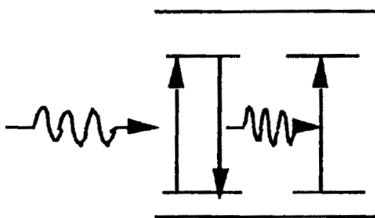
- ▶ Opticky aktivní ionty jsou vzájemně silně Coulombovsky vázané.
- ▶ Ionty nelze popisovat jako nezávislé – vlnové funkce a energie vázaných iontů se silně liší.
- ▶ Orbitaly interagujících iontů se částečně překrývají
- ▶ Pro nalezení příslušných vlnových funkcí a energií je třeba diagonalizovat nový hamiltonián soustavy

$$\hat{H}_{\text{pár}} = \hat{H}_1 + \hat{H}_2 + \hat{H}_{\text{int}}^{i-i} \quad \text{kde} \quad \hat{H}_{\text{int}}^{i-i} = -\frac{K}{\hbar^2} \hat{\mathbf{S}}_1 \cdot \hat{\mathbf{S}}_2$$

kde \hat{S}_i jsou operátory spinu a K je vazební konstanta

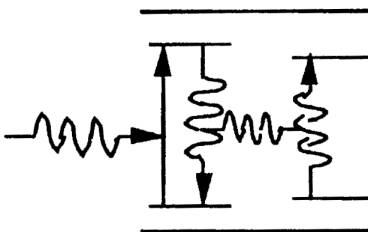
- ▶ V prvním přiblížení vede k dalšímu štěpení hladin. Velikost štěpení úměrná K (může být kladné i záporné).
- ▶ Štěpení může ovlivnit jen některé hladiny (závisí na iontovém poloměru dané konfigurace)
- ▶ Počet párů roste s kvadrátem koncentrace iontů \Rightarrow spektroskopické vlastnosti (např. intenzita přechodů) závisí na kvadrátu koncentrace

Iont-iontová interakce – zářivý přenos energie



- ▶ Zářivý přenos energie nevyžaduje speciální fyzikální postupy
- ▶ Nastává v mnoha systémech a může významně ovlivnit spektroskopické vlastnosti (tvar emisních spekter, doby doznívání fluorescence)
- ▶ Nastává mezi různými ionty – důležitý je překryv emisních a absorpčních spekter
- ▶ Prodlužování doby doznívání fluorescence v důsledku záchytu fotonů (*radiative trapping*)

Iont-iontová interakce – slabá vazba



- ▶ Vazba neovlivňuje konfigurace a energetické hladiny zúčastněních iontů
- ▶ Má vliv na obsazení hladin
- ▶ Přenos energie na principu rezonance, který lze popsat jak emisi a absorpci nějaké virtuální částice (fonon, foton, exciton, Frenkelův exciton – silně vázaný pár elektron-díra, Wanierův exiton – slabě vázaný pár elektron-díra umožňující větší delokalizaci)
- ▶ Zásadní může být vliv teploty (účast fononů)
- ▶ Může probíhat v jednom nebo ve více krocích
- ▶ Elektrická dipólová interakce má dosah desítky Å
- ▶ Elektrická multipólová interakce má dosah jednotky Å

Iont-iontová interakce – nezářivý přenos energie

- ▶ Přenos v jednom kroku Senzitizer (Donor) → Aktivátor (Akceptor)
(Forster-Dexter process)
- ▶ Elektromagenetická interkace – multipólový rozvoj

$$\hat{H}_{int}^{EM} = \hat{H}_{int}^{EDD} + \hat{H}_{int}^{EDQ} + \hat{H}_{int}^{EQD} + \hat{H}_{int}^{EQQ} + \dots + \hat{H}_{int}^{MDD} + \dots$$

- ▶ Rychlosť přenosu energie S → A při dipól-dipólové interakci

$$W_{sa}^{EDD} \approx \frac{1}{\tau_s^0} \left(\frac{R_0}{R_{sa}} \right)^6$$

kde R_{as} je vzdálenost A-S, R_0 je kritická interakční vzdálenost a $C_0 = (4/3\pi R_0^3)^{-1}$ je kritická koncentrace

- ▶ při dipól-kvadrupolové interakci:

$$W_{sa}^{EDQ} = W_{sa}^{EQD} \approx \frac{f_Q}{f_D} \left(\frac{\lambda}{R_{sa}} \right)^2 W_{sa}^{EDD}$$

- ▶ při kvadrupol-kvadrupolové interakci:

$$W_{sa}^{EQQ} \approx \left(\frac{f_Q}{f_D} \right)^2 \left(\frac{\lambda}{R_{sa}} \right)^4 W_{sa}^{EDD}$$

kde λ průměrná vlnová délka přechodů a $f_{D,Q}$ jsou síly oscilátorů v dipolové a kvadrupolové approximaci

Iont-iontová interakce – nezářivý přenos energie

- ▶ Pro lanthanoidy se dá využít výsledků Judd-Ofeltovy teorie:

$$W_{sa}^{EDD} = \frac{1}{(2J_s + 1)(2J_a + 1)} \frac{2}{3} \frac{2\pi}{\hbar} \left(\frac{e^2}{R_{sa}^3} \right)^2 \int g_s(\nu) g_a(\nu) d\nu \\ \times \left(\sum_{\lambda} \Omega_{(\lambda s)} |\langle J_s | U^{(\lambda)} | J'_s \rangle|^2 \right) \left(\sum_{\lambda} \Omega_{(\lambda a)} |\langle J_a | U^{(\lambda)} | J'_a \rangle|^2 \right)$$

kde $\Omega_{(\lambda s, a)}$ jsou příslušné J-O koeficienty, $\langle J_{a,s} | U^{(\lambda)} | J'_{a,s} \rangle$ jsou maticové elementy redukovaných unitárních operátorů pro zúčastněné hladiny a $g_{s,a}(\nu)$ jsou tvary spektrálních čar příslušných přechodů

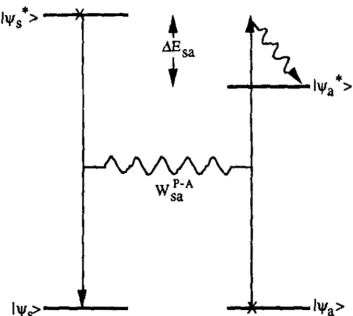
- ▶ Ve skutečnosti je R_{sa} náhodná veličina a je třeba stanovit efektivní rychlosť přenosu energie, která závisí na tom, jak moc náhodné rozložení iontů v aktivním prostředí je
- ▶ V případě náhodného rozmístění s hustotou N_a po vybuzení v čase $t = 0$:

$$W^{EDD} = \frac{2\pi^{3/2}}{3} \frac{R_0^3 N_a}{\sqrt{\tau_s^0 t}}$$

- ▶ Testování je možné provádět měřením průběhu fluorescence a srovnáním s řešením rychlostní rovnice

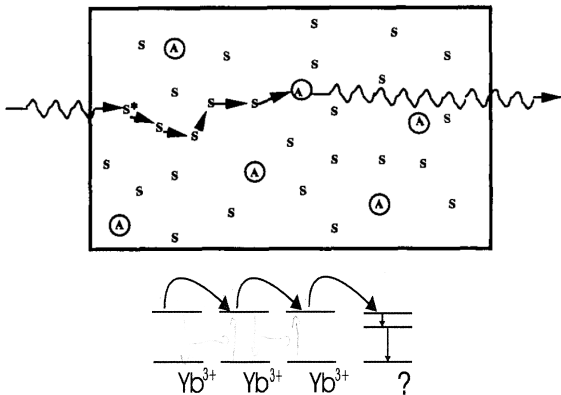
Iont-iontová interakce – nezářivý přenos energie za účasti fononů

- ▶ Pokud nejsou energetické hladiny sensitizéra a aktivátoru v rezonanci, může chybějící/přebytečnou energii doplnit/odnést fonon
- ▶ Tvary spektrálních čar v překryvovém integrálů mohou být rozšířeny fononově asistovanou emisí/absropcí \Rightarrow přenos energie silně závislý na teplotě
- ▶ Interakční hamiltonián se doplní o elektron/ion-fononový interakční člen



- ▶ Při interakci je důležitý i vztah mezi vzdáleností interagujících ionů a vlnovou délkou zúčastněného fononu (tedy rozdílem energie ΔE_{sa})
- ▶ Pokud je $k_{ph} \cdot R_{sa} > 1$, interakce prakticky nezávisí na separaci S-A, pokud je $k_{ph} \cdot R_{sa} \ll 1$, interakce zprostředkovaná fofnony je „koherentní“ a hrozí, že fonon bude modulovat oba ionty – pravděpodobnost přenosu energie roste s R_{sa}^2
- ▶ Přenosu energie se může účastnit víc než jeden fonon – rychlosť přenosu energie je pak ale silně (exponencielně) závislá na teplotě (ochlazení může přenos omezit)

Iont-iontová interakce – migrace energie

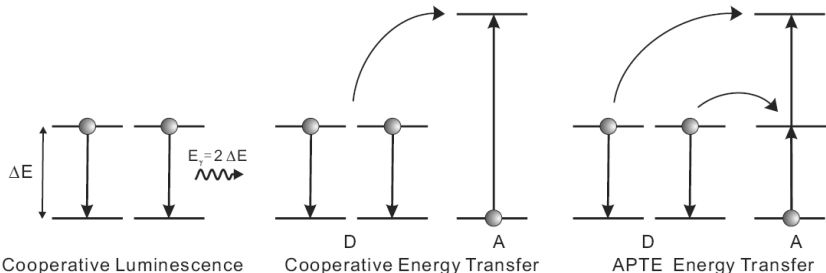


- ▶ Migrace energie (migrace Frenkelova excitonu)
- ▶ Přenos energie = migrace + záchyt
- ▶ Difúze, náhodná procházka, simulace Monte-Carlo...

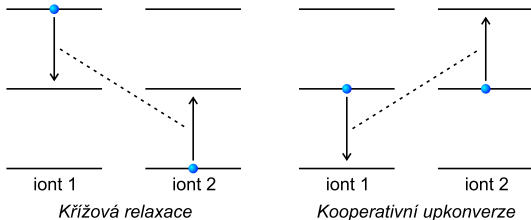
$$W_{sa}^D \approx 4\pi DR_T C_a$$

kde D je difúzní koeficient, R_T je efektivní vzdálenost pro záchyt a C_a je koncentrace pastí (aktivátorů)

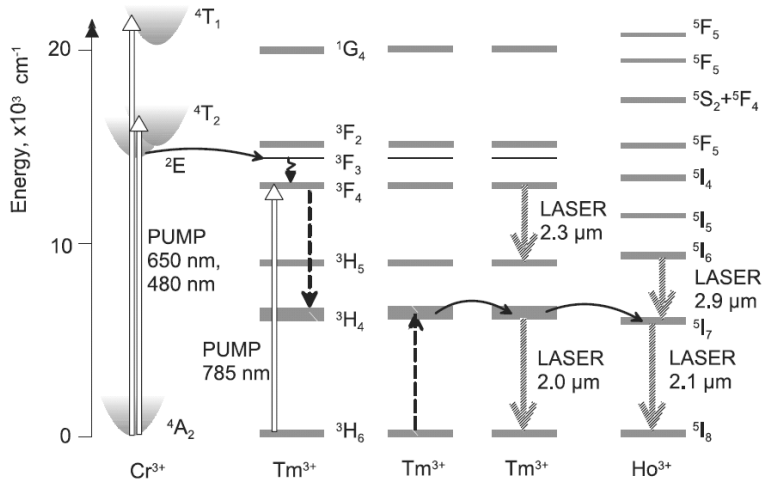
Iont-iontová interakce – „upkonverze“



- ▶ Kooperativní fluorescence
- ▶ Kooperativní upkonverze
- ▶ Upkonverze v důsledku křížové relaxace



Iont-iontová interakce – kodopace



- ▶ Buzení procesem Senzitizér → Aktivator (CTH:YAG)

Spektroskopické vlastnosti aktivního prostředí ve vztahu k činnosti laseru

- ▶ Čtyřhladinové aktivní prostředí – rychlostní rovnice:

$$\frac{dn}{dt} = F^{\text{pump}} \sigma_{\text{GSA}} (N_t - n) - F^{\text{las}} \sigma_{\text{em}} n - \frac{n}{\tau} - \alpha n^2,$$

čerpání, stimulovaná a spontánní emise, up-konverze s makroparametrem α .

$$\frac{dF^{\text{las}}}{dt} = \frac{c}{I} F^{\text{las}} \sigma_{\text{em}} n l_a - \frac{F^{\text{las}}}{\tau_c} - \frac{c}{I} F^{\text{las}} \sigma_{\text{ESA}}^{\text{las}} n l_a$$

stimulovaná emisi, ztráty, ESA.

- ▶ CW řešení:

$$n_{\text{th}} = \frac{T + L}{l_a (\sigma_{\text{em}} - \sigma_{\text{ESA}}^{\text{las}})}$$

$$P_{\text{th}}^{\text{abs}} = (T + L) \frac{h\nu^{\text{las}}}{\sigma_{\text{em}} \tau} \frac{\lambda^{\text{las}}}{\lambda^{\text{pump}}} A^{\text{pump}} (1 + \alpha n_{\text{th}} \tau) \left(1 - \frac{\sigma_{\text{ESA}}^{\text{las}}}{\sigma_{\text{em}}} \right)^{-1} \left(1 + \frac{\sigma_{\text{ESA}}^{\text{pump}} n_{\text{th}}}{\sigma_{\text{GSA}} (N_t - n_{\text{th}})} \right)$$

$$\eta_{\text{slope}} = \frac{T}{T + L} \frac{\lambda^{\text{pump}}}{\lambda^{\text{las}}} \left(1 - \frac{\sigma_{\text{ESA}}^{\text{las}}}{\sigma_{\text{em}}} \right) \left(1 + \frac{\sigma_{\text{ESA}}^{\text{pump}} n_{\text{th}}}{\sigma_{\text{GSA}} (N_t - n_{\text{th}})} \right)^{-1}$$

Spektroskopické vlastnosti aktivního prostředí ve vztahu k činnosti laseru

- ▶ Up-konverze a redukce doby života aktivního iontu s teplotou sice vede ke zvýšení prahu generace, ale nemá vliv na diferenciální účinnost laseru
- ▶ Aby bylo možné snížit ztráty způsobené up-konverzí na minimum ($\alpha n_{th}\tau \ll 1$), je potřeba co možná nejvíce snížit celkové ztráty $T + L$, aby došlo ke snížení prahové inverze populace hladin
- ▶ Ztráty L a ESA mají vliv jak na práh generace, tak na diferenciální účinnost laseru. Nicméně, ESA na vlnové délce čerpacího záření má v případě čtyřúrovňového aktivního prostředí pouze zanedbatelný vliv, neboť $n_{th} < N_t$ a její vliv může být dále snížen snížením ztrát, respektive prahu generace
- ▶ Vliv reabsorpce na vlastnosti generace laseru je nejednoznačný
 - ▶ Přímým důsledkem reabsorpce je prodloužení doby života a to v první aproximaci vede k efektivnímu snížení prahu činnosti laseru.
 - ▶ Reabsorpce zvyšuje pravděpodobnost přenosu energie, a to zvláště v případě up-konverze. V laserových systémech, kde up-konverze představuje ztrátový mechanismus pak reabsorpce představuje ztráty.
 - ▶ V laserových systémech, které využijí up-konverzní čerpání (například Er-lasery pracující na vlnové délce $3\ \mu m$), reabsorpce ve svém důsledku vede k zlepšení účinnosti.

Dosažení prahu generace

- Naměřená luminiscenční doba života τ sestává z čistě zářivých, ale i nezářivých, složek:

$$\frac{1}{\tau} = \frac{1}{\tau_{\text{rad}}} + \frac{1}{\tau_{\text{nr}}}$$

- Zářivá doba života (doba života za kterou nesou odpovědnost zářivé přechody) širokopásmového přechodu:

$$\frac{1}{\tau_{\text{rad}}} = A = 8cn^2 \int \frac{\sigma_{\text{em}}(\lambda)d\lambda}{\lambda^4} \approx 8cn^2 \sigma_{\text{em}}(\lambda_0) \frac{1}{\lambda_0^3} \frac{\Delta\lambda}{\lambda_0}$$

tj. obecně je doba života nepřímo úměrná šířce emisní čáry.

- Prahová absorbovaná čerpací intenzita:

$$I_{\text{th}} \propto \frac{\alpha_{\text{loss}}}{\alpha_{\text{abs}}} \frac{h\nu}{\sigma(\nu)\tau} = \frac{1}{FOM} \frac{1}{\eta_{QE}} \frac{\Delta\lambda}{\lambda_0} \frac{n^2}{\lambda_0^4} \quad \text{kde} \quad \eta_{QE} = \frac{\tau}{\tau_{\text{rad}}} \quad \text{a} \quad FOM = \frac{\sigma_a(\nu^{pump})}{\sigma_a(\nu^{las})}$$

- Faktor λ^4 v jmenovateli efektivně se snižuje práh generace pro přechody s delší vlnovou délkou
- Kvalitní materiál $\Leftrightarrow FOM > 100$

- ▶ Procesy ion-iontové interakce
 - ▶ probíhají v širokém rozsahu koncentrací na různé vzdálenosti
 - ▶ probíhají za účasti různých reálných a virtuálních částic
 - ▶ Silná interakce vede obecně ke vzniku nových energetických hladin
 - ▶ Slabá interakce modifikuje obsazení hladin (doby života)
 - ▶ Zářivý přenos energie funguje na velké vzdálenosti
 - ▶ Obecně mohou být teplotně závislé
 - ▶ Obecně se kombinují různé procesy současně
 - ▶ Pokud je jejich působení nežádoucí, je třeba snížit koncentrací dopantů a nečistot (pastí) a populaci hladin (práh laseru)
 - ▶ Jejich efekt je často i žádoucí (přenos energie z prvků s širokými absorpčními pásy s velkou absorpcí, depopulace vybraných energetických hladin)

Literatura

-  RICHARD C. POWELL: *Physics of solid-state laser materials*, Springer-Verlag, 1998
-  BRIAN HENDERSON AND RALPH H. BARTRAM: *Crystal-field engineering of solid-state laser materials*, Cambridge University Press, 2000
-  Přednášky: <http://people.fjfi.cvut.cz/sulcjan1/FLT/>